



# PROJEKTIVNA GEOMETRIJA: UPORABA V RAČUNALNIŠTVU

seminarska naloga pri predmetu  
**DIFERENCIJALNA IN RAČUNSKA GEOMETRIJA**

**Avtor:** Peter Peer  
Miha Peternel

**Mentor:** doc. dr. Neža Mramor Kosta

V Ljubljani, 14.6.2000

# Kazalo

<b>1 Povezava med sencami in projektivno geometrijo</b>	<b>4</b>
1.1 Povezava s projektivno geometrijo . . . . .	4
<b>2 Matematični model projekcije senc</b>	<b>4</b>
2.1 Prostor, luč, objekt, površina . . . . .	5
2.2 Razmerje med trikotnikom v $\mathbb{R}^3$ in $P^2$ . . . . .	5
2.3 Projekcija trikotnika na ravnino . . . . .	7
2.4 Projekcija sence trikotnika . . . . .	7
<b>3 Model za računalniško uporabo</b>	<b>8</b>
3.1 Luči, objekti, projekcijske površine . . . . .	8
3.2 Omejitve okolja . . . . .	9
3.3 Primer za grafiko - <i>shadow mapping</i> . . . . .	9
3.4 Primer za računalniški vid . . . . .	12
<b>4 Zaključek</b>	<b>13</b>
<b>Literatura</b>	<b>13</b>

## Slike

1	Projekcija dveh osvetljenih trikotnikov v prostoru na ravnino . . . . .	5
2	Idealna postavitev trikotnika glede na opazovalca . . . . .	6
3	Trikotnik, ki je v projektivnem prostoru daljica - prvi primer . . . . .	6
4	Trikotnik, ki je v projektivnem prostoru daljica - drugi primer . . . . .	7
5	Trikotnik, ki je v projektivnem prostoru daljica - tretji primer . . . . .	7
6	Trikotnik, ki je v projektivnem prostoru daljica - četrti primer . . . . .	8
7	Trikotnik, ki je v projektivnem prostoru ekvivalent dvema kolineranimi daljicama . . . . .	8
8	Trikotnik, ki je v projektivnem prostoru ekvivalent trem kolinearnim daljicam . . . . .	9
9	Projekcija trikotnika v $S^1$ obsega manj kot polovico krožnice okoli opazovalca . . . . .	9
10	Projekcija trikotnika v $S^1$ obsega natanko polovico krožnice okoli opazovalca . . . . .	10
11	Projekcija trikotnika v $S^1$ obsega celotno krožnico okoli opazovalca . . . . .	10
12	Primer projekcije trikotnika na ravnino . . . . .	11
13	Območje sence trikotnika na drugem trikotniku . . . . .	11
14	Kompleksnost sence ob netočkatem svetlobnem viru . . . . .	12
15	Senčenje dveh prekrivajočih se trikotnikov . . . . .	12
16	Uporaba kocke za predstavitev celotnega projekcijskega prostora . . . . .	13
17	Primer upodobljene ( <i>rendering</i> ) slike . . . . .	14
18	Določitev konveksne lupine krogle . . . . .	15
19	Zaporedje fotografij piramide, ko se vir svetlobe premika od leve proti desni . . . . .	15
20	Postopek izločanja sence . . . . .	16
21	Rekonstrukcija piramide . . . . .	16

# 1 Povezava med sencami in projektivno geometrijo

Svetila v prostor projecirajo žarke. Prostor napolnijo z žarki, ki segajo od svetila do objekta. Objekti navidezno mečejo sence na druge, ki so bolj oddaljeni od vira svetlobe. Gre za t.i. koncept *shadow-castinga*, čeprav se dejansko dogaja *light-absorption*. Gledano iz ene strani se svetloba projecira po prostoru in jo objekti absorbirajo, iz drugega vidika pa pričakujemo, da bi svetloba morala osvetljevati vse objekte, pa nekateri objekti mečejo sence na druge objekte.

## 1.1 Povezava s projektivno geometrijo

Prostor  $\mathbb{R}^3$  gledamo iz neke točke  $O$ . Opazujemo objekte v projektivnem prostoru okoli točke  $O$ .

### Pomemben izrek:

$P^2$  je topološko ekvivalenten enotski sferi  $S^2$  ali  $\mathbb{R}^3$ , kjer smo določili antipodne točke. Uporabimo torej projektivni prostor  $P^2$ . Tocko  $x$  iz  $\mathbb{R}^3$  preslikamo v  $(x - O)$  v projektivnem prostoru.

### Preslikave:

- Točka  $x$  iz  $\mathbb{R}^3$  se preslika v  $x' = (x - O)$ .  $x' = (x - O)$  opazujemo v projektivnem prostoru  $P^2$ .
- Črta  $AB$  iz  $\mathbb{R}^3$  se preslika v  $\lambda_a \cdot A' + \lambda_b \cdot B'$ , kjer sta  $\lambda_a, \lambda_b \geq 0$  in  $\lambda_a + \lambda_b > 0$ .
- Konveksni poligon  $X_i$  se preslika v  $\sum(\lambda_i \cdot X'_i)$ , kjer je  $\lambda_i \geq 0$  in  $\sum(\lambda_i) > 0$ .
- Trikotnik  $X_1X_2X_3$  se preslika v  $k_1 \cdot X'_1 + k_2 \cdot X'_2 + k_3 \cdot X'_3$ ,  $k_1, k_2, k_3 \geq 0$ ,  $k_1 + k_2 + k_3 > 0$ .

### Enakovrednost točk in daljic:

- 2 točki, ki ležita v  $\mathbb{R}^3$  na istem poltraku, ki se začne v  $O$ , sta v projektivnem prostoru ekvivalentni.
- Točka in daljica, ki ležita v  $\mathbb{R}^3$  na istem poltraku, ki se začne v  $O$ , sta v projektivnem prostoru ekvivalentni.

# 2 Matematični model projekcije senc

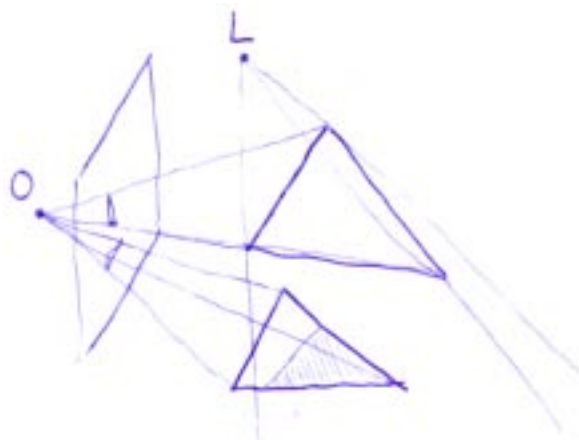
Sprašujemo se, kako lahko projektivno geometrijo uporabljam za metanje senc v računalniški grafiki in kako za rekonstrukcijo objektov v računalniškem vidu.

## 2.1 Prostor, luč, objekt, površina

Matematično lahko modeliramo projekcije senc iz naslednjih komponent:

- prostor, ki je običajno  $\mathbb{R}^3$ , v nekaterih redkih primerih nas zanima  $\mathbb{R}^2$
- luč, ki je izvor svetlobe, običajno poenostavljeno točkast, ali pa geometrijsko tak, da ga lahko v razumnem času računalniško simuliramo
- objekt, ki je sestavljen iz površin, ki absorbirajo ali lomijo ali odbijajo svetlubo
- površina v danem prostoru, na kateri opazujemo senco

Na sliki 1 lahko vidimo projekcijo dveh osvetljenih trikotnikov v prostoru na ravnino. Trikotnika sta osvetljena iz točke  $L$ , opazovalci pa v točki  $O$ , slika pa nastaja na projekcijski ravnini pred opazovalcem.



Slika 1: Projekcija dveh osvetljenih trikotnikov v prostoru na ravnino

Za občutek si najprej oglejmo projekcijo primitivov. Osnovni primitiv je trikotnik, saj lahko iz trikotnikov sestavimo površino poljubnega objekta s poljubno natančnostjo.

## 2.2 Razmerje med trikotnikom v $\mathbb{R}^3$ in $P^2$

Slika na projekcijski ravnini je vedno odvisna od postavitve opazovalca in/ali svetlobnega vira. Na naslednjih sedmih slikah bomo podali vse možnosti projekcije trikotnika glede na postavitev v razmerju do opazovalca ali svetlobnega vira.

Na sliki 2 vidimo idealen primer, ko v projekcijskem prostoru vidimo trikotnik, v  $\mathbb{R}^3$  pa dobimo nekakšno neskončno piramido z vrhom v opazovalcu.

Na slikah 3, 4, 5 in 6 vidimo projekcijo trikotnika, ki v projektivnem prostoru predstavlja daljico, v  $\mathbb{R}^3$  pa ravninski izsek, omejen z dvema poltrakoma, ki se stikata v točki opazovalca. Kot med poltrakoma pa je nujno manjši od  $180^\circ$ .

Na sliki 7 vidimo primer, ko se trikotnik v projektivnem prostoru preslika v dve kolinerani daljici, v  $\mathbb{R}^3$  pa dobimo polravnino, ki se dotika opazovalca.

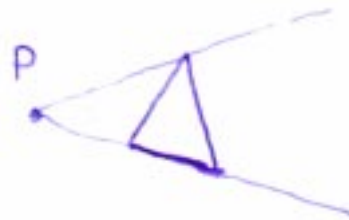
Na zadnji sliki, sliki 8, pa vidimo primer, ko se trikotnik v projektivnem prostoru preslika v tri kolinerane daljice, v  $\mathbb{R}^3$  pa dobimo ravnino, ki vsebuje opazovalca.

Poleg kolineranosti v zadnjih dveh primerih pa velja tudi omejitev, da se daljici v predzadnjem primeru oziroma daljice v zadnjem primeru medseboj stikajo, vendar stikov v projektivnem prostoru ne moremo določiti. V zadnjih treh primerih v projektivnem prostoru vedno vidimo daljico, vendar med posameznimi primeri ločimo na podlagi velikosti daljice v primerjavi s krožnico okoli opazovalca:

- če je to razmerje manjše od  $1/2$ , potem gre za primere iz slik 3, 4, 5 in 6 (glej sliko 9)
- če je to razmerje  $1/2$ , potem gre za primer s slike 7 (glej sliko 10) in
- če je to razmerje  $1$ , potem gre za primer s slike 8 (glej sliko 11).

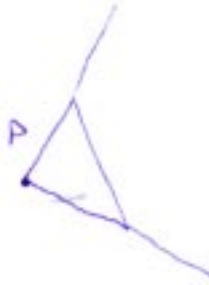


Slika 2: Idealna postavitev trikotnika glede na opazovalca

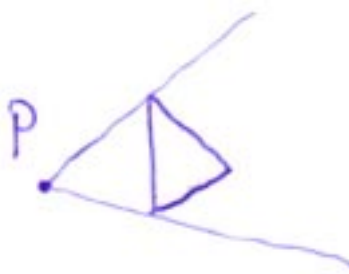


Slika 3: Trikotnik, ki je v projektivnem prostoru daljica - prvi primer

Iz danih razmerij lahko izpeljemo postopke, ki nam omogočajo obravnavo projekcij v  $\mathbb{R}^3$ .



Slika 4: Trikotnik, ki je v projektivnem prostoru daljica - drugi primer



Slika 5: Trikotnik, ki je v projektivnem prostoru daljica - tretji primer

### 2.3 Projekcija trikotnika na ravnino

Na sliki 12 je podan primer projekcije trikotnika na ravnino, sedaj pa si oglejmo še matematično izpeljavo te projekcije:

$$\lambda_u \cdot \vec{u} + \lambda_v \cdot \vec{v} + (M - P) = \lambda_d \cdot (T - P) \quad (1)$$

Pri tem predpostavljamo, da prostor opazujemo iz točke  $P$ , ravnina gre skozi točko  $M$  in je napeta med vektorja  $\vec{u}$  in  $\vec{v}$ , opazovana točka na trikotniku (v  $\mathbb{R}^3$ ) pa je  $T$ .  $\lambda_u$  in  $\lambda_v$  predstavlja koordinati točke na ravnini,  $\lambda_d$  pa nam predstavlja razdaljo od točke  $P$  do točke  $T$ .

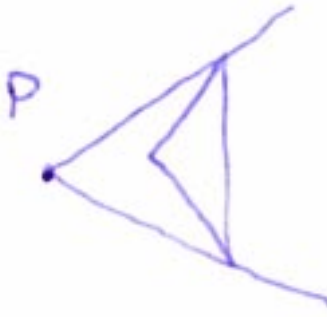
### 2.4 Projekcija sence trikotnika

Ko opazujemo točko, opazujemo žarek (ali vec žarkov) svetlobe od luči do neke točke na površini, kjer se svetloba zbira. Žarek je ekvivalenten točki v projektivnem prostoru  $P^2$ .

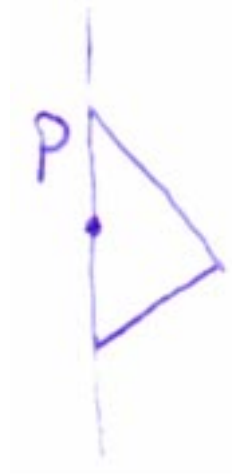
Kako izvemo ali je točka osenčena? Točka je osenčena, če se v projektivnem prostoru ujema s kakšno točko, ki je v  $\mathbb{R}^3$  bližje viru svetlobe.

Območje, kjer lahko pride do sence, je tam, kjer imata trikotnika v projektivnem prostoru presek, kar je razvidno iz slike 13.

V kolikor luč ni točkasta, je projekcija sence bistveno bolj kompleksna in je ne moremo enostavno obravnavati s projektivno geometrijo. Primer je



Slika 6: Trikotnik, ki je v projektivnem prostoru daljica - četrти primer



Slika 7: Trikotnik, ki je v projektivnem prostoru ekvivalent dvema kolinearima daljicama

ilustriran na sliki 14.

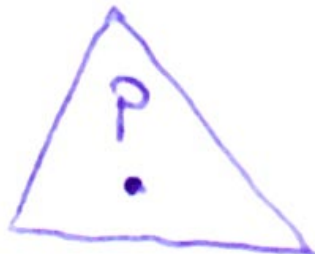
### 3 Model za računalniško uporabo

#### 3.1 Luči, objekti, projekcijske površine

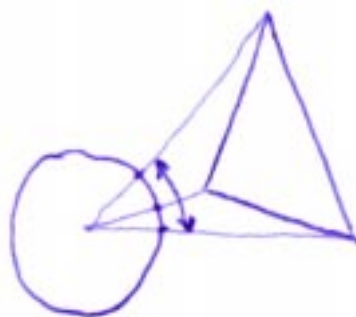
Pri računalniški obdelavi največkrat uporabljamo točkaste luči. V kolikor so luči paralelne, jih obravnavamo z afino geometrijo. Točkaste luči pa enostavno obravnavamo s projektivno geometrijo. Netočkaste luči predstavimo kot približek iz večih točkastih luči, kjer sence ustrezno kombiniramo.

Objekti so iz primitivov, ki so trikotniki ali zlepki. Zlepke pred prikazom običajno pretvorimo v majhne trikotnike.

Projekcijske površine so primitivi ali ravnine, oziroma pogosteje parallelogrami v ravnini.



Slika 8: Trikotnik, ki je v projektivnem prostoru ekvivalent trem kolinearnim daljicam



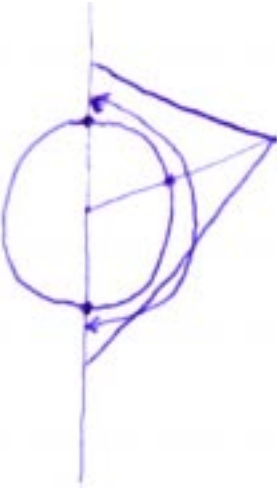
Slika 9: Projekcija trikotnika v  $S^1$  obsega manj kot polovico krožnice okoli opazovalca

### 3.2 Omejitve okolja

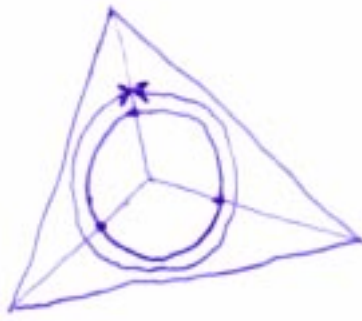
Prostor je  $\mathbb{R}^3$ , zaradi omejene predstavitev realnih stevil pa je prostor končen in kvantiziran. Površine so končne, vse so sestavljene iz trikotnikov. Objekti so predstavljeni zgolj s svojo površino, notranjosti sploh ne obravnavamo.

### 3.3 Primer za grafiko - *shadow mapping*

Strojna oprema zna narediti izredno hitro projekcijo, ne pa sledenje žarku. Zato uporabimo za senčenje postopek dvakratne projekcije. Med izvor svetlobe in objekt postavimo projekcijsko ravnino, imenovano *shadow map*, kjer hranimo podatke o razdalji do najbližjega objekta. *Shadow map* je kvantiziran pravokotnik ali paralelogram v  $\mathbb{R}^3$ . Tvorí dvodimensionalno mrežo točk, kjer vsaka hrani razdaljo do najbližje točke, ki leži na istem mestu v projektivnem prostoru. Algoritemčno se postopek prične s tem, da objekte projeciramo na ravnino in si shranimo minimalno razdaljo v mreži kvantiziranih točk na *shadow map*. Ko smo to ponovili za vse prisotne objekte in vse vire svetlobe, nastopi senčenje objektov. Sedaj *shadow map* projeciramo nazaj na objekte in osenčimo tiste točke na objektih, ki so bolj



Slika 10: Projekcija trikotnika v  $S^1$  obsega natanko polovico krožnice okoli opazovalca



Slika 11: Projekcija trikotnika v  $S^1$  obsega celotno krožnico okoli opazovalca

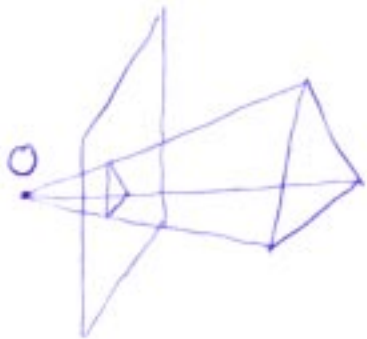
oddaljene od shranjene minimalne razdalje na ustrezní točki *shadow mape*.

Osnovna formula za *shadow mapping* je projekcija točke iz  $\mathbb{R}^3$  v koordinate na *shadow mapi*. Denimo, da je izvor svetlobe v točki  $L$ , *shadow mapa* izhaja iz točke  $M$  in je napeta med vektorja  $\vec{u}$  in  $\vec{v}$ , opazovana točka v  $\mathbb{R}^3$  pa je  $T$ . Rešiti moramo enačbo ekvivalentno enačbi (1):

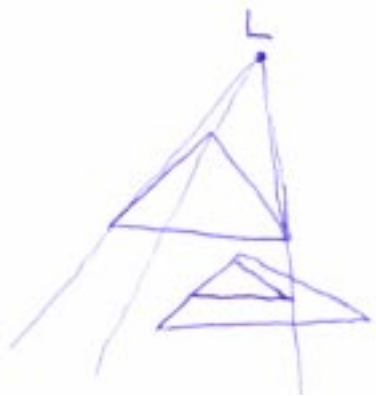
$$\lambda_u \cdot \vec{u} + \lambda_v \cdot \vec{v} + (M - L) = \lambda_d \cdot (T - L) \quad (2)$$

Kvantizirane koordinate na *shadow mapi* dobimo s kvantizacijo  $\lambda_u$  in  $\lambda_v$ .  $\lambda_d$  nam predstavlja razdaljo od izvora svetlobe do opazovane točke, ki jo tudi kvantiziramo, zato moramo biti pri primerjavi razdalje pazljivi.

Na sliki 15 vidimo način senčenja dveh prekrivajočih se trikotnikov. V prvem koraku projiciramo trikotnika na projekcijsko ravnino, pri čemer si za vsako kvantizirano točko na ravnini zapomnimo razdaljo do najbližjega



Slika 12: Primer projekcije trikotnika na ravnino



Slika 13: Območje sence trikotnika na drugem trikotniku

objekta. V drugem koraku pa projiciramo ravnino nazaj na trikotnike, pri čemer senčimo le tiste točke, ki so bolj oddaljene kot shranjena minimalna razdalja do objekta.

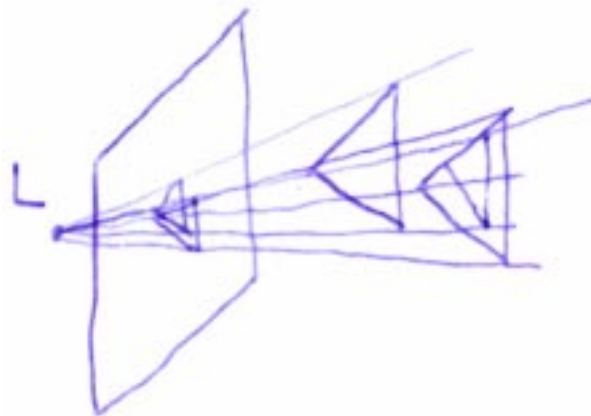
Na sliki 16 pa uporabimo namesto projekcijske ravnine kocko, saj tako lahko zaobjamemo celoten projekcijski prostor okoli točkastega vira svetlobe.

Metoda *shadow mapping* je ekvivalentna dvakratnemu mapiranju tekstur, ki je standardni postopek v računalniški grafiki, z dodatno primerjavo razdalje do izvora svetlobe v drugem koraku.

Direktna uporaba projektivne geometrije v računalniški grafiki je možna le, kadar opazujemo prostor samo iz ene točke. Tak problem je določanje vidljivosti objektov iz neke točke. Iščemo množico potencialno vidnih objektov (*PVS - potential visibility set*). Za ta problem zgolj tvorimo preseke objektov v projektivnem prostoru in zavrzemo dele objektov, ki so bolj oddaljeni od točke opazovanja v prostoru  $\mathbb{R}^3$ .



Slika 14: Kompleksnost sence ob netočkatem svetlobnem viru



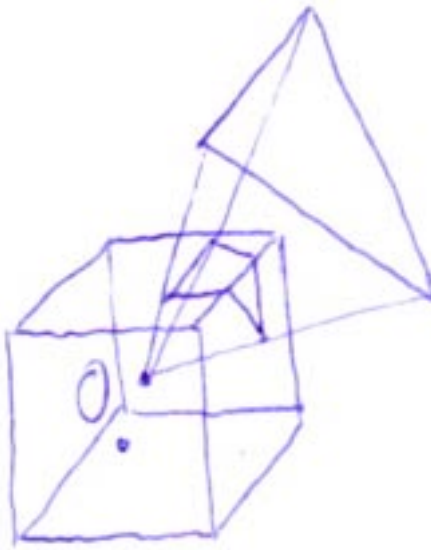
Slika 15: Senčenje dveh prekrivajočih se trikotnikov

### 3.4 Primer za računalniški vid

Ilustrativen primer si lahko predstavljamo s sistemom kamere in enega ali več točkastih virov svetlobe. Sistem lahko deluje na dva osnovna načina:

- več statičnih virov svetlobe, ki se izmenično vklapjajo, ob spremembah pa zajamemo sliko
- en vir svetlobe, ki se giblje, ob premiku pa se zajame slika.

Če poznamo neosvetljen prostor in natančen položaj vira svetlobe, lahko določimo položaj senc na zajetih slikah. Na podlagi informacije o mestu vira in položaju sence lahko sklepamo na mesto objekta v projektivnem prostoru. V 3D prostoru se objekt potencialno nahaja med senco in lučjo. Če tvorimo presek potencialnih mest objekta v 3D prostoru, lahko omejimo področje



Slika 16: Uporaba kocke za predstavitev celotnega projekcijskega prostora

objekta. Na ta način dobimo rekonstrukcijo objekta. Problem so konkavna področja.

Na sliki 18 vidimo primer določitve konveksne lupine krogle, kjer dobimo informacijo s pomočjo treh viriv svetlobe, predpostavljam pa, da poznamo natančen položaj luči in projekcijske ravnine glede na kamero.

Na slikah 19, 20 in 21 vidimo kompleksnejši primer rekonstrukcije piramide.

## 4 Zaključek

Podala sva kratek pregled uporabnosti projektivne geometrije v računalniški grafiki in računalniškem vidu. Opisala sva le stvari, ki niso posebej izpostavljene v [1], bralcu pa ta vir toplo priporočava kot uvod v projektivno geometrijo, uporabno v računalništvu.

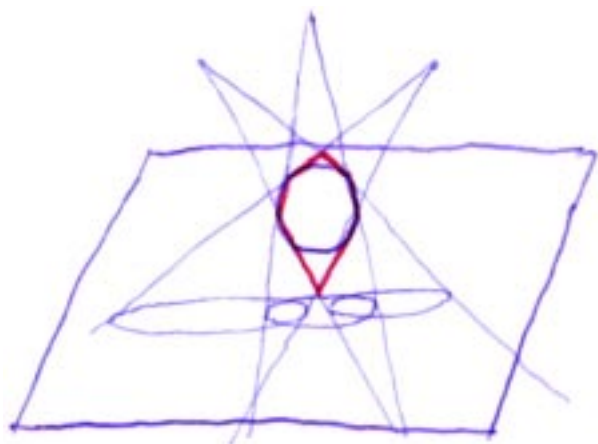
## Literatura

- [1] S. Birchfield, An Introduction to Projective Geometry (for Computer Vision), <http://robotics.stanford.edu/~birch/projective/>, 1998.
- [2] M. Daum, G. Dudek, On 3-D Surface Reconstruction Using Shape from Shadows, *CVPR*, 1998.
- [3] G. Farin, D. Hansford, *Geometry Toolkit: for Graphics and Modeling*, A K Peters, 1998.

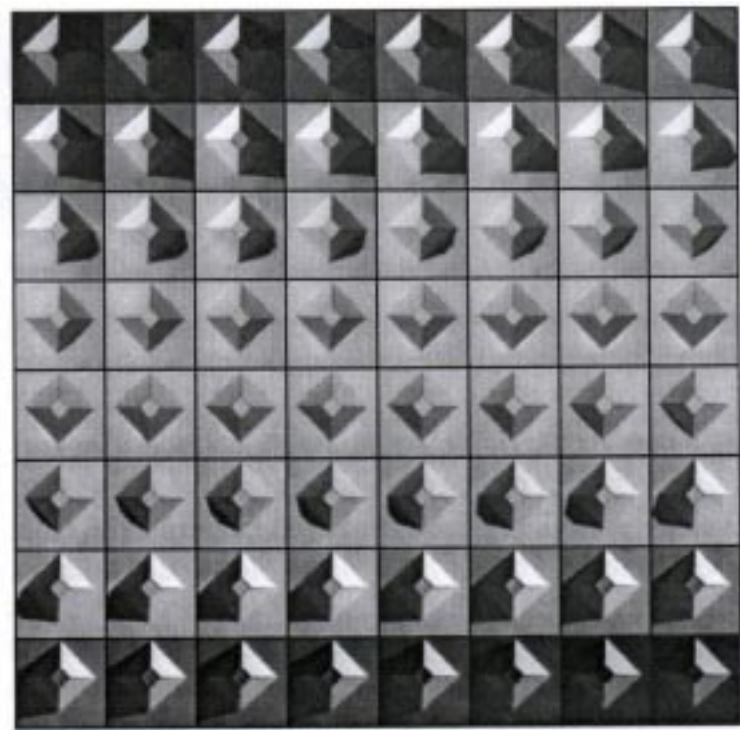


Slika 17: Primer upodobljene (*rendering*) slike

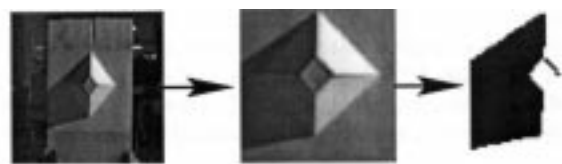
- [4] O. Faugeras, *Three-Dimensional Computer Vision: A Geometric Viewpoint*, MIT Press, 1993.
- [5] M. Herf, Efficient Generation of Soft Shadow Textures, <http://www.cs.cmu.edu/~ph/shadow.html>.
- [6] M. Herf, P. Heckbert, Fast soft Shadows, <http://www.stereopsis.com/shadow/sig/cookbook.html>, 1996.
- [7] T. Košir, B. Magajna, *Transformacije v geometriji*, DMFAS, Ljubljana, 1997.



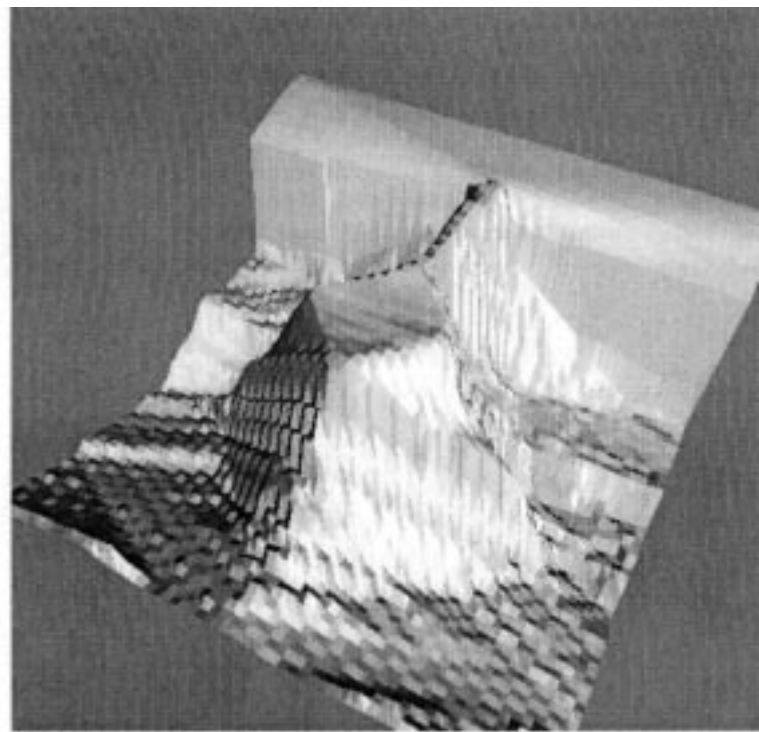
Slika 18: Določitev konveksne lupine krogle



Slika 19: Zaporedje fotografij piramide, ko se vir svetlobe premika od leve proti desni



Slika 20: Postopek izločanja sence



Slika 21: Rekonstrukcija piramide